

بررسی ارتباط بین ژن *TNC* و بیماری پوکی استخوان

نسرين السادات نبویزاده^۱، زهره حجتی^{۲*}

مقاله پژوهشی

مقدمه: بیماری پوکی استخوان از شایع‌ترین علل شکستگی استخوان در دوران پیری است. بررسی پوکی استخوان در افراد مسن به دلیل هتروژن بودن فرایند پیری بسیار پیچیده است. هدف از این مطالعه بررسی ارتباط ژن *TNC* در بیماران مبتلا به سندروم ارثی و بسیار نادر پوکی استخوان با عنوان استئوژنزیز ایمپرفکتا است. مطالعه برروی این بیماران به دلیل مونوژنیک بودن بیماری ارثی پوکی استخوان می‌تواند برای شناسایی بیومارکر اختصاصی در روند پوکی استخوان حائز اهمیت باشد.

روش بررسی: در این مطالعه مورد شاهدی، از بیماران مبتلا به استئوژنزیز ایمپرفکتا به عنوان مدل آزمایشگاهی ساده و مونوژن برای بررسی نقش احتمالی ژن *TNC* در پوکی استخوان استفاده شده است. بدین منظور، ابتدا از طریق آنالیز بیوانفورماتیکی، شبکه پروتئینی *TNC* و مسیرهای بیولوژیکی مرتبط با پروتئین‌های این شبکه بررسی شدند. سپس، بافت پوست از ۳ بیمار مبتلا به سندروم وراثتی پوکی استخوان و دو فرد سالم گرفته شد و پس از کشت بافت پوست، سلول‌های فیبروبلاست از سلول‌های کراتینوسیت جداسازی شد. سپس RNA هر نمونه سلولی از دو پاساژ مختلف استخراج و پس از سنتز cDNA، بیان ژن *TNC* در سلول‌های بیمار و سالم توسط روش Real-time PCR و از طریق تکرارهای مختلف سنجیده شد.

نتایج: پروتئین‌های شبکه *TNC* با مسیرهای بیولوژیکی مرتبط در فرایند استخوان‌زایی به طور معناداری در ارتباط هستند. میزان بیان ژن کاندید *TNC* در سلول‌های فیبروبلاست سالم و بیمار پوکی استخوان بررسی و افزایش معنادار بیان این ژن در سلول‌های افراد بیمار با استفاده از تکرارهای بیولوژیکی و تکنیکی ($p = 0.005$) و از طریق آنالیز Student t-test تأیید گردید. در این مطالعه از نرمافزارهای Excel و GraphPad Prism 5.0 (GraphPad Software, Inc, San Diego, CA) استفاده شده است.

نتیجه‌گیری: افزایش بیان ژن *TNC* در بیماری مونوژنیک پوکی استخوان می‌تواند نمایانگر نقش احتمالی این ژن در روند پوکی استخوان باشد و این ژن را به عنوان بیومارکر این بیماری معرفی کند. مطالعه برروی بیماری نادر استئوژنزیز ایمپرفکتا به عنوان یک مدل آزمایشگاهی ساده و مونوژن برای بررسی بیماری هتروژن پوکی استخوان است و برای تایید نهایی، نیاز است تا بیان ژن کاندید در جامعه آماری مناسب متشکل از افراد مبتلا به پوکی استخوان بررسی شود.

واژه‌های کلیدی: پوکی استخوان، بیماری مونوژنیک، *TNC*، Real-time PCR، مسیرهای بیولوژیکی

ارجاع: نبوی‌زاده نسرين السادات، حجتی زهره. بررسی ارتباط بین ژن *TNC* و بیماری پوکی استخوان. مجله علمی پژوهشی دانشگاه علوم پزشکی شهید صدوقی یزد ۱۳۹۹؛ ۲۸(۱۰): ۳۱۲۱-۳۳.

۱- دانشجوی دکترا، بخش ژنتیک، گروه زیست شناسی سلولی مولکولی و میکروبیولوژی، دانشکده علوم و فناوری‌های زیستی، دانشگاه اصفهان، اصفهان، ایران

۲- استاد، بخش ژنتیک، گروه زیست شناسی سلولی مولکولی و میکروبیولوژی، دانشکده علوم و فناوری‌های زیستی، دانشگاه اصفهان، اصفهان، ایران

*نویسنده مسئول؛ تلفن: ۰۹۱۳۳۲۸۷۹۰۳، پست الکترونیکی: z.hojati@sci.ui.ac.ir، صندوق پستی: ۸۱۷۴۶۷۳۴۴۱

مقدمه

از درمان‌ها مورد استفاده قرار گیرند. از جمله بیماری‌های ارشی و مونوژنیک شناخته شده در ارتباط با پوکی استخوان می‌توان به استئوژنیز ایمپرفکتا (osteogenesis imperfecta)، سندروم بروک (Bruck syndrome)، استئوپتروزیس (osteopetrosis)، سندروم osteoporosis-pseudoglioma (von Buchem disease)، بیماری ون بوخم (syndrome)، اسکلروستئوز-تزویز (sclerosteostosis)، استئولیز خانوادگی (Paget's disease)، بیماری پاژه (familial osteolysis)، هایپرپاراتیروئیدیسم (hypophosphatasia) نوزادی(neonatal hyperparathyroidism) و پیکنودیزوسوتوز (pyknodysostosis) اشاره کرد (۱). در این مطالعه از نمونه‌های استئوژنیز ایمپرفکتا استفاده گردید که در آن بیماران از بدو تولد از پوکی استخوان شدید و شکستگی‌های متعدد استخوانی رنج می‌برند.

هم‌چنین زن *Tenascin C* (TNC) به عنوان زن کاندید در روند پوکی استخوان انتخاب شد. زن *TNC* یک گلیکوپروتئین ماتریکس خارج سلولی را کد می‌کند که در طی رشد استخوان و مورفوژن توسط سلول‌های استئوبلاست ساخته می‌شود (۲،۵). بررسی‌ها نشان داده است که *TNC* در تمایز استخوانی استئوبلاست و معدنی شدن بافت استخوان نقش دارد. در طی این تمایز، ممکن است *TNC* به عنوان یک واسطه برای تشکیل استخوان جدید توسط سیگنال β -TGF فعال شود (۳،۷). علاوه بر این، پروتئین (BMP) و Bone morphogenetic protein (BMP) فاکتورهای رشد *Wnt* یا فشار مکانیکی و استرس می‌توانند بیان *TNC* را در استئوبلاست‌ها افزایش دهند (۴،۱۰). هدف اصلی این مطالعه بررسی ارتباط زن *TNC* با بیماری پوکی استخوان با استفاده از روش‌های بیوانفورماتیکی و آزمایشگاهی است. لازم به ذکر است که این مطالعه به منظور کاندید کردن بیومارکر پوکی استخوان صورت گرفته است و بهدلیل تعداد بسیار محدود نمونه‌های بیماران مبتلا به استئوژنیز ایمپرفکتا به عنوان مدل مونوژن و نادر پوکی استخوان، لازم است این نتایج در مطالعات گسترده‌تر با جامعه آماری مناسب مشکل از بیماران مبتلا به انواع پوکی استخوان و افراد سالم تأیید نهایی شود.

کشت و نگهداری سلول‌های فیبروبلاست انسانی در شرایط طبیعی

در ابتدا بیوپسی‌های پوست سه بیمار مبتلا به استئوژنیزایمپرفکتا و دو فرد سالم به قطعات کوچک ۲ میلی‌متری بریده و توسط بافر PBS شسته شدند. سپس خراش‌های عمیقی بر روی یک ظرف پتربالی ۱۰ سانتی‌متری توسط یک تیغه استریل ایجاد شد و قطعات پوستی روی خراش‌های ایجاد شده ثابت شدند. پس از آن، در محیط کشت حاوی DMEM با گلوکز بالا (HyClone, Thermo Scientific, USA, Cat. No. SH30022.01) ۱۰ درصد سرم HyClone, Thermo Scientific, USA,) (FBS گاوی جنبینی (Cat. No. SH30070.03)، ۱ درصد پنی‌سیلین / استرپتومایسین (Gibco, USA, Cat. No. 15140-122) و ۲ میلی‌مولاR-L-گلوتامین (Thermo Fisher Scientific, USA, Cat. No. 25030081) کشت داده شدند. معمولاً ۳ تا ۵ روز طول می‌کشد تا رشد سلول‌های فیبروبلاست اولیه از بیوپسی پوست شروع شود. مشخصات پاساژهای سلولی استفاده شده در این مطالعه در جدول ۱ آمده است.

روش بررسی

مطالعات بیوانفورماتیک و زیست‌شناسی سامانه‌ها
به منظور به دست آوردن برهمکنش‌های پروتئینی TNC از پایگاه داده زیستی String (<https://string-db.org/>) استفاده گردید. این پایگاه داده شامل مجموعه‌ای از برهمکنش‌های پروتئینی شناخته شده و پیش‌بینی شده براساس نتایج آزمایشگاهی، پیش‌بینی‌های بیوانفورماتیکی و مقالات چاپ شده است. سپس مجموعه شبکه پروتئینی KEGG (<https://www.genome.jp/kegg>) توسط دو ابزار /?sess=ebfe2ad23e021e38540f798c803dd061 و Reactome (<https://reactome.org/>) پایگاه داده Reactome مسیرهای بیولوژیکی را با جزئیات کامل نشان می‌دهد. همچنان KEGG به صورت گستردۀ برای تجزیه و تحلیل داده‌ها در ژنومیک، متابولومیک و سایر مطالعات omics، مدل‌سازی و شبیه‌سازی در سیستم بیولوژی و طراحی دارو استفاده می‌شود. در نهایت نقش مسیرهای معنادار اصلی به دست آمده توسط این دو روش در روند استخوان‌زایی ارزیابی گردید.

جدول ۱: نمونه‌های مورد استفاده در این مطالعه و شماره پاساژ سلولی آن‌ها

نمونه	شماره پاساژ سلولی (سری اول)	شماره پاساژ سلولی (سری دوم)
۱	P10	P11
۲	P7	P8
۱	P7	P8
۲	P3	P6
۳	P3	P7

در سرعت بالا سانتریفیوژ شدند. به اندازه حجم لیز سلولی، اتانول ۷۰٪ به آن اضافه شده و از طریق پیپتاش کردن به طور کامل مخلوط گردید. سپس نمونه‌ها به ستون RNeasy spin column متصل و در دور g ۸۰۰۰ به مدت ۱۵ ثانیه سانتریفیوژ شدند. پس از آن بافر RW1 و RPE به ترتیب به نمونه‌ها اضافه و در هر مرحله نمونه‌ها در دور g ۸۰۰۰ به مدت ۱۵ ثانیه سانتریفیوژ شدند. همچنان به منظور حذف تمام DNA ژنومی

استخراج RNA از سلول‌های فیبروبلاست کشت داده شده با استفاده از کیت Qiagen, Germany, Cat.) RNeasy Mini (No 74106: سلول‌های چسبیده به کف پلیت از طریق روش تریپسینه کردن جمع‌آوری و سلول‌ها با استفاده از ۶۰۰ میکرولیتر محلول لیزکننده RLT و با استفاده از ورتسکس لیز شدند. به منظور همگن‌سازی، لیز سلولی مستقیماً به ستون‌های QIAshredder spin column منتقل شده و به مدت دو دقیقه

تعیین اختصاصیت و کارایی هر جفت پرایمر پس از انجام Real-time PCR

همان‌طور که در برنامه Real-time PCR آمده است، پس از تمام چرخه‌های PCR، واکنش وارد مرحله منحنی ذوب شد. در این مرحله دما از ۶۰ تا ۹۵ درجه سانتی‌گراد به تدریج افزایش می‌یابد و در دمای مخصوصی کل محصول دو رشته‌ای مورد نظر دناتوره شده و تک رشته‌ای می‌گردد. در صورتی که پرایمروها اختصاصی نباشند در حین PCR، به جز محصول اصلی، محصول یا محصولات فرعی و یا پرایمر دایمیر تشکیل می‌گردد. وجود یک پیک در منحنی ذوب نشان‌دهنده اختصاصی بودن و مناسب بودن پرایمروها است. همچنین کارایی پرایمروها طراحی شده با استفاده از منحنی استاندارد و محاسبه R^2 تعیین شد. برای سنجش R^2 چهار رقت متوالی از cDNA نمونه طبیعی در غلظت‌های ۱/۸، ۱/۱۶، ۱/۳۲، ۱/۶۴ تهیه شد و سپس Real Time PCR هر رقت با هر جفت پرایمر انجام گرفت. هرچه میزان R^2 به یک نزدیک‌تر باشد، ارتباط معنادارتری بین غلظت cDNA و C_t وجود دارد که این نشان‌دهنده کارایی پرایمر است. در نهایت به منظور رفع خطاها تکنیکی، سه جفت پرایمر برای مطالعه بیان زن TNC از طریق سایت (https://pga.mgh.harvard.edu/cgi-bin/primerbank/new_search2.cgi) انتخاب شدند. همچنین زن GAPDH به عنوان زن خانه‌نگه‌دار به منظور نرمال‌سازی داده‌های Real-time PCR مورد استفاده قرار گرفت (جدول ۴).

آنالیز نتایج با استفاده از روش $\Delta\Delta Ct$

پس از پایان واکنش و تعیین خط آستانه، سیکل آستانه (C_t) هر نمونه به دست می‌آید. از نسبت سیکل آستانه زن مورد نظر به سیکل آستانه زن خانه‌نگه‌دار می‌توان میزان بیان نسبی زن مورد نظر را از روش $\Delta\Delta Ct = \Delta Ct_{sample} - \Delta Ct_{control}$ به دست آورد. در این رابطه زیر استفاده می‌گردد:

$$\Delta\Delta Ct = \Delta Ct_{sample} - \Delta Ct_{control}$$

در این رابطه ΔCt sample اختلاف میان سیکل‌های آستانه زن مورد نظر و خانه‌نگه‌دار در نمونه مورد آزمایش (بیمار) و

از روش هضم DNase ببروی ستون استفاده شد. استخراج شده در دمای ۸۰- درجه سانتی‌گراد نگهداری گردید. سنتز cDNA با استفاده از کیت iScript reverse transcriptase (Bio-Rad, USA, Cat. No. 1708891) حدود ۱ میکروگرم RNA استخراج شده برای ساخت cDNA استفاده شد. سنتز cDNA با استفاده از کیت iScript reverse transcriptase حاوی ۴ میکرولیتر از مخلوط ۵x iScript Reaction Mix PCR و ۱ میکرولیتر از iScript reverse transcriptase به گونه‌ای که مجموع حجم هر واکنش پس از اضافه کردن آب دو بار تقطیر ۲۰ میکرولیتر گردید. پس از انکوبه کردن به مدت ۵ دقیقه در دمای اتاق، مخلوط به دستگاه PCR منتقل شد. در دستگاه PCR، نمونه‌ها در دمای ۴۶ درجه سانتی‌گراد به مدت ۲۰ دقیقه و سپس در ۹۵ درجه سانتی‌گراد به مدت ۱ دقیقه انکوبه شده و در آخر نمونه‌ها در ۴ درجه سانتی‌گراد سرد شدند. cDNA سنتز شده در دمای ۸۰- درجه سانتی‌گراد نگهداری شد و با توجه به غلظت مورد نیاز به صورت خالص یا رقیق شده (نسبت ۱ به ۱۰) مورد استفاده قرار گرفت.

تکنیک Quantitative real-time PCR

تکنیک Quantitative real-time PCR یا qRT-PCR با استفاده از سایبر‌گرین Applied Biosystems™ PowerUp™ SYBR™ Green Master Mix و به صورت تکرارهای سه تایی برای هر نمونه انجام شد. در این مطالعه از زن GAPDH به عنوان زن خانه‌نگه‌دار برای نرمال‌سازی داده‌ها استفاده شد. تمام پرایمروها در غلظت ۲.۵ میکرومولار مورد استفاده قرار گرفتند. مواد تهیه شده برای تکنیک qRT-PCR در پلیت‌های ۳۸۴ چاهکی (Applied Biosystems, USA, Cat. No. 4309849) ریخته و توسط فیلم چسبناکی (Thermo Scientific, UK, Cat. No. AB-0558 real-time PCR) مهر و موم شدند. سپس تکنیک ABI Prism 7900HT Fast Real-Time PCR در دستگاه (Applied Biosystems, US System) صورت گرفت. میزان مواد مورد استفاده در حجم نهایی ۱۰ میکرولیتر و همچنین برنامه Real-time PCR به ترتیب در جدول ۲ و ۳ آمده است.

نسرین السادات نبوی‌زاده و همکارش

سنجدیده شد ($p < 0.05$) به عنوان سطح معناداری در نظرگرفته شده است). همچنین نمودارها توسط GraphPad Prism 5.0 (GraphPad Software, Inc, San Diego, CA) نرمافزار تهیه شدند.

ملاحظات اخلاقی

پروپوزال این تحقیق توسط دانشگاه اصفهان تایید شده است (کد اخلاق IR.UI.REC.1399.029).

اختلاف میان سیکل‌های آستانه ژن مورد نظر و خانه-نگهدار در نمونه کنترل (سالم) می‌باشد. عدد حاصل از آن، در رابطه $\Delta\Delta Ct$ قرار داده می‌شود که نتیجه به دست آمده اختلاف میزان بیان در نمونه کنترل و مورد آزمایش را نشان می‌دهد.

تجزیه و تحلیل آماری

در این مطالعه داده‌های جمع‌آوری شده مورد تجزیه و تحلیل قرار گرفتند و میزان تغییر بیان ژن TNC بین نمونه‌های سالم و بیمار از طریق آنالیز student t.test و نرم‌افزار Excel مورد بررسی قرار گرفت.

جدول ۲: مواد و مقادیر موردنیاز جهت انجام واکنش Real-time PCR در حجم نهایی ۱۰ میکرولیتر

مواد موردنیاز به ازای هر واکنش	حجم موردنیاز به ازای هر واکنش
SYBR™ Green Master Mix	۵ میکرولیتر
Forward primer (2.5 μ M)	۱ میکرولیتر
Reverse Primer (2.5 μ M)	۱ میکرولیتر
cDNA (1/10 diluted)	۱ میکرولیتر
Nuclease-Free Water	۲ میکرولیتر
حجم نهایی	۱۰ میکرولیتر

جدول ۳: برنامه Real-time PCR

تعداد چرخه	مرحله	دما	زمان
۱	Primary Denaturation and DNA polymerase activation	۹۵ درجه سانتی گراد	۱۰ دقیقه
۴۰	Denaturation	۹۵ درجه سانتی گراد	۲۰ ثانیه
	Annealing	۶۰ درجه سانتی گراد	۳۰ ثانیه
	Extension	۷۲ درجه سانتی گراد	۱ دقیقه
Plate read			

Melting Curve from 60°C to 95°C, read every 0.2°C, hold 2 sec

جدول ۴: پرایمرهای طراحی شده برای Real-time PCR

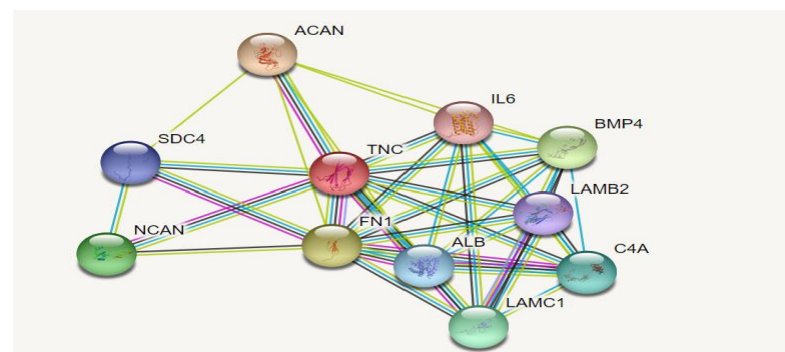
نام ژن	پرایم	توالی (۵' > ۳')	طول محصول
TNC	Forward1 Reverse1	TCCCAGTGTCGGTGGATCT TTGATGCGATGTGTGAAGACA	۱۳۱ جفت باز
TNC	Forward2 Reverse2	GCCCTGTATGTTAAGGAGCTG GGCCTCGAACGGTACAGTT	۲۵۰ جفت باز
TNC	Forward3 Reverse3	AGGGCAAGTGCCTAAATGGAG TGGGCAGATTTCACGGCTG	۷۷ جفت باز
GAPDH	Forward1 Reverse1	CGACAGTCAGCCGCATCTT CCCCATGGTGTCTGAGCG	۳۰۳ جفت باز

نتایج

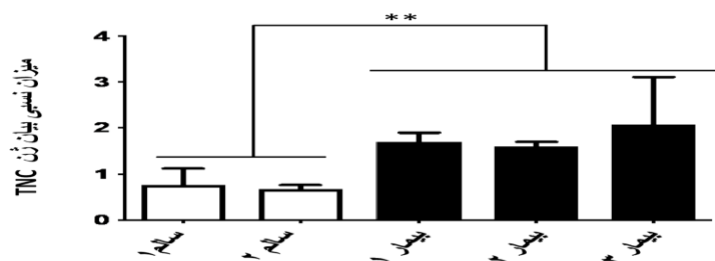
در این مطالعه مورد شاهدی، ابتدا سه بیمار خوبشاوند مبتلا به سندرم و راثی پوکی استخوان استئوژنزیز ایمپرفکتا شناسایی شدند. شدت پوکی استخوان در افراد مبتلا بسیار بالا است به‌گونه‌ای که نوزادان در حین تولد دچار شکستگی استخوان در نواحی متعددی شدند. بیوپسی پوست از ۲ فرد سالم و ۳ بیمار گرفته شد و پس از کشت و جداسازی سلول‌های فیبروبلاست از سلول‌های کراتینوسیت، RNA سلول‌های فیبروبلاست با استفاده از کیت RNeasy Mini استخراج گردید. از آنجایی که شرایط مختلف محیطی و تعداد پاساژ برومو میزان بیان زن‌های مختلف در سلول تاثیر می‌گذارند، در این مطالعه برای هر نمونه، RNA از سلول‌ها در دو پاساژ مختلف استخراج شد (جدول ۱). هم‌چنان در مطالعه حاضر، برهمکنش‌های پروتئینی زن کاندید TNC در انسان توسط سایت <https://string-db.org/> جمع‌آوری شد (شکل ۱). در این برهمکنش‌ها، پروتئین‌های SDC4، ACAN، BMP4، LAMC1، FN1، NCAN، LAMB2 با پروتئین TNC در ارتباط هستند. سپس، مجموعه شبکه پروتئینی TNC توسط ابزارهای مسیریابی Reactome و KEGG، آنالیز مسیریابی شدند که مسیرهای بیولوژیکی مرتبط با استخوان‌زایی شامل ماتریکس خارج سلولی (ECM) و برهمکنش‌های

جدول ۵: مسیرهای به دست آمده از شبکه پروتئینی TNC

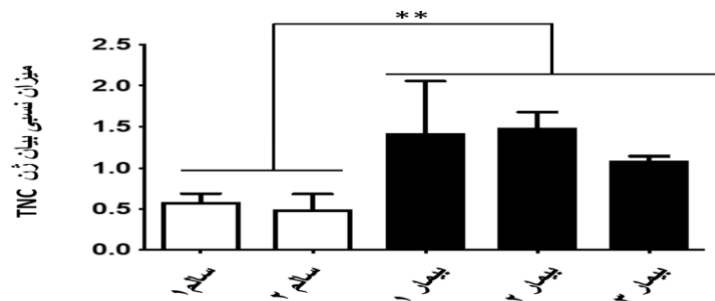
نام ابزار مسیریابی	نام مسیر بیولوژیکی	زن‌های دخیل در مسیر بیولوژیکی	سطح معناداری (P)
KEGG	ECM-receptor interaction	LAMB2; TNC; LAMC1; SDC4; FN1	$1/1 \times 10^{-6}$
Reactome	Extracellular matrix organization	BMP4; ACAN; SDC4; LAMB2; NCAN; FN1; TNC; LAMC1	$6/3 \times 10^{-11}$
Reactome	ECM proteoglycans	ACAN; LAMB2; NCAN; FN1; TNC; LAMC1	$4/5 \times 10^{-11}$
Reactome	Non-integrin membrane-ECM interactions	SDC4; LAMB2; FN1; TNC; LAMC1	$1/07 \times 10^{-11}$
Reactome	Syndecan interactions	SDC4; FN1; TNC	$6/3 \times 10^{-6}$



شکل ۱: برهمکنش‌های مولکولی بین TNC و سایر پروتئین‌ها در انسان. پروتئین‌های شبکه شامل TNC، ACAN، SDC4، NCAN، FN1، IL6، BMP4، LAMB2، C4A، ALB، LAMC1 و LAMC1 هستند که از جمله آن‌ها می‌توان به پروتئین ACAN و BMP4 اشاره کرد. پروتئین ACAN به صورت مستقیم در القای تشکیل استخوان و غضروف نقش دارد و همچنین پروتئوگلیکان ACAN به عنوان عضو اصلی ماتریکس خارج‌سلولی بافت غضروف است و در ناهنجاری‌های استخوانی مثل آرتروز دخیل می‌باشد.



شکل ۲: افزایش معنادار بیان زن TNC در افراد بیمار نسبت به افراد سالم. در این بررسی از نمونه‌های سری اول و جفت پرایمر اول استفاده شده است.
* اختلاف معنادار بیان TNC بین گروه افراد بیمار و سالم را نشان می‌دهد.
 $p < 0.01$



شکل ۳: افزایش معنادار بیان زن TNC در افراد بیمار نسبت به افراد سالم. در این بررسی از نمونه‌های سری دوم و جفت پرایمر سوم استفاده شده است.
* اختلاف معنادار بیان TNC بین گروه افراد بیمار و سالم را نشان می‌دهد.
 $p < 0.01$

شکنندگی استخوان می‌گردد (۱۳). بازسازی استخوان فرایندی مداوم در طول زندگی است که در سه دهه اول، به صورت یک ارتباط پایدار و ثابت بین جذب استخوان و تشکیل استخوان وجود دارد و با افزایش سن این تعادل به هم می‌خورد (۱۴). مطالعه اختصاصی پوکی استخوان در افراد مسن به دلیل

بحث

پوکی استخوان به عنوان یک بیماری اسکلتی سیستماتیک و اختلال مرتبط با سن تعریف می‌شود که با کمبود تراکم و تغییر بافت استخوانی همراه است و در نهایت منجر به افزایش

پیچیدگی روند پیری و همراه بودن این فرایند با بیماری‌های زمینه‌ای دیگر مانند دیابت، فشار خون، قند خون و بیماری‌های قلبی و عروقی بسیار دشوار است. در مقابل، بیماری‌های نادر و ارشی معمولاً در اثر جهش در یک زن ایجاد می‌شوند و مطالعه برروی این بیماری‌ها سبب شناسایی مکانیسم‌های اختصاصی در روند بیماری‌زایی می‌شود. در این مطالعه، سه بیمار خویشاوند مبتلا به استئوژنزیز ایمپرفکتا با پوکی استخوان بسیار شدید و شکستگی‌های متعدد استخوانی شناسایی شدند و زن *TNC* به عنوان کاندید اولیه انتخاب گردید. *TNC* یک عضو از خانواده گلیکوپروتئین‌های *Tenascin* است. *Tenascin*‌ها گلیکوپروتئین‌های ماتریکس سلولی هستند که در طی تکامل و بازسازی بافت بیان می‌شوند. علاوه بر این، بیان *Tenascin*‌ها تحت شرایط پاتولوژیک شامل زخم‌های پوستی، آترواسکلروز، آسم و سرطان افزایش می‌یابد (۵). *Tenascin*‌ها هم‌چنین تمایز و تکثیر استئوبلاست را تعديل می‌کنند و در آسیب‌شناسی‌های مربوط به اسکلت از جمله تومورهای استخوان و استئوآرتیت نقش دارند (۱۵، ۱۶). این گلیکوپروتئین‌ها نقش مهمی در چسبندگی استئوکلاست و ترمیم شکستگی دارند به‌طوری که در موش فاقد *TNC* در هنگام ترمیم شکستگی، جذب نامناسب و تولید بیش از حد استخوان رخ می‌دهد (۱۷). در مهره‌داران خانواده *Tenascin* دارای چهار عضو، *C*, *W*, *R* و *Xb* هستند و از این میان *Tenascin-C* و *Tenascin-W* به‌طور عمده در تکامل اسکلتی نقش دارند (۱۸). در این مطالعه، ابتدا شبکه پروتئینی *TNC* به‌دست آمد و سپس به‌طور اختصاصی، *Reactome* و *KEGG* مسیریابی شدند. مسیرهای معنادار اصلی به‌دست آمده به‌طور کلی شامل مسیرهای مرتبط با ماتریکس خارج سلولی (*ECM*) و برهمکنش‌های سیندکان (*Sdc*) هستند. ماتریکس خارج سلولی شامل طیف وسیعی از ماکرومولکول‌ها می‌باشد که به انواع کلاژن، الاستین و پروتئین‌های میکروفیریلدار و هم‌چنین پروتئوگلیکان‌ها از جمله هیالورونان و گلیکوپروتئین‌های غیرکلاژن طبقه بندی می‌شوند. مولکول‌های *ECM* علاوه بر نقش ساختاری در کنترل رویدادهای مهم

سلولی مانند چسبندگی، مهاجرت، تکثیر، تمایز و بقا حائز اهمیت هستند. هرگونه نقص ساختاری ارشی یا اکتسابی و یا اختلال متابولیکی در *ECM* ممکن است باعث ایجاد تغییرات سلولی و در نتیجه پیشرفت بیماری در بافت خاصی گردد (۱۹). وجود بیش از صد نوع پروتئین *ECM* در بافت استخوان و نقش اساسی این پروتئین‌ها در روند بازسازی آن، نشان‌دهنده اهمیت پروتئین‌های *ECM* در فیزیولوژی بافت استخوان و بیماری‌های وابسته به آن است. به‌طور کلی، استخوان‌ها در طول زندگی برای حفظ ساختار و عملکرد قوی به‌طور مداوم بازسازی می‌شوند و بازسازی ناکارآمد باعث ایجاد شرایط پاتولوژیک از جمله پوکی استخوان می‌گردد.

پروتئین‌های *ECM* نقش بسیار مهمی در روند بازسازی استخوان از طریق ایجاد فعالیت متعادل بین سلول‌های استئوکلاست در بازجذب استخوان و سلول‌های استئوبلاست در تولید استخوان جدید ایفا می‌کنند. هم‌چنین، پروتئین‌های *ECM* از جمله کلاژن نوع I می‌توانند به عنوان داربستی برای اتصال موادمعدنی عمل کنند. علاوه بر این، *ECM* فرایند تمایز سلول‌های بنیادی مزانشیمی به سلول‌های استئوبلاست را به‌طور مستقیم از طریق برهمکنش مستقیم سلول-*ECM* و تعدیل فعالیت فاکتور رشد کنترل می‌کند. به‌طور مشابه، *ECM* می‌تواند بر تکامل استئوکلاست‌ها از سلول‌های پیش‌ساز ماکروفاژ تمایز نیافته تأثیر بگذارد و عملکرد استئوکلاست را از طریق اتصال مستقیم این سلول‌ها به اجزای ماتریکس تنظیم کند (۲۰). نکته قابل توجه اینکه فراتر از تراکم و محتوای مواد معدنی، یکپارچگی *ECM* در مقاومت به شکستگی استخوان نقش دارد. پروتئین‌های *ECM* به‌طور اختصاصی برای جلوگیری از شروع و انتشار آسیب‌های کوچک سازماندهی شده‌اند و طی روند پیری، تغییراتی در *ECM* رخ می‌دهد که باعث شکننده شدن استخوان می‌گردد (۲۱). علاوه بر *ECM*، شبکه پروتئینی *TNC* در مسیر مربوط به برهمکنش‌های سیندکان نقش دارد. این خانواده ۴ عضو دارد (1-4) که این پروتئین‌های غشایی از یک هسته پروتئینی و زنجیره‌های گلیکوز‌آمینوگلیکان تشکیل شده‌اند. هرچند این چهار سیندکان عملکردهای

تأثیر داشت. تاکنون مطالعات گوناگونی برروی بیان ژن در بیماری‌های مختلف استخوانی صورت گرفته است که نشان-دهنده افزایش میزان این پروتئین در اختلالات متعدد استخوانی هستند. Ozkan و همکارانش در سال ۲۰۱۵ افزایش معنادار بیان *TNC* را برروی بیماران مبتلا به بیماری مزمن Chronic (CKD-MBD) کلیوی همراه با نقص استخوانی kidney disease-mineral and bone disorder نشان دادند و به این نتیجه رسیدند که می‌توان این ژن را به عنوان یک بیومارکر برای تشخیص این بیماری در نظر گرفت (۲۶). همچنین Page و همکارانش در سال ۲۰۱۲ گزارش کردند که می‌توان *TNC* را به عنوان بیومارکر فرسایش استخوانی معرفی کرد زیرا سطح پروتئین *TNC* در افراد مبتلا به روماتیسم مفصلی به طور قابل ملاحظه‌ای بالاست و بالاترین میزان آن در مرحله نهایی روماتیسم مشاهده شد (۲۷). علاوه بر این، بر اساس مطالعات انجام شده توسط Patel و همکارانش در سال ۲۰۱۱ میزان *TNC* در مایع سینوویال و غضروف زانو بیماران مبتلا به آرتروز به طور قابل ملاحظه‌ای افزایش یافته است. یافته‌های آن-ها نشان می‌دهد که سطح بالای *TNC* می‌تواند واسطه‌های التهابی را القا کند و باعث تخریب ماتریکس در مفاصل بیماران مبتلا به آرتروز شود (۲۸). براساس اطلاعات به دست آمده تاکنون هیچ مطالعه‌ای برروی ارتباط *TNC* با بیماری پوکی استخوان در انسان صورت نگرفته است و تنها مطالعه برروی نقش *TNC* در پوکی استخوان موش توسط Chen و همکارانش در سال ۲۰۱۶ انجام گرفت و یافته‌های آن‌ها بر خلاف نتایج به دست آمده در این تحقیق نشان داد که کاهش بیان این پروتئین باعث تشدید پوکی استخوان با مهار سیگنال Wnt و سرکوب استخوان‌سازی می‌شود (۲۹). این تضاد می‌تواند پیشنهاددهنده پیچیدگی بیان *TNC* در انواع مختلف پوکی استخوان و یا عدم کارآمدی مدل آزمایشگاهی موش برای مطالعه پوکی استخوان در انسان باشد. همچنین سنجش بیان ژن *TNC* برروی بیماران بیشتر مبتلا به انواع پوکی استخوان برای تأیید داده‌های این مطالعه و معرفی نهایی این ژن به عنوان یک بیومارکر پوکی استخوان لازم است و در صورت

مشترکی دارند اما به نظر می‌رسد که هرکدام از آن‌ها سیگنال‌های منحصر به فرد خودشان را دارند و طبق یک الگوی اختصاصی در روند تکامل و در سلول‌های مختلف بیان می‌شوند. به عنوان مثال، بیان پروتئین *Sdc2* در طی تمایز سلول‌های استئوپلاست افزایش می‌یابد. از نظر مکانیسمی هم این پروتئین عملکردهای مختلفی را در سلول‌های استئوپلاست به عنوان یک کمک گیرنده برای فاکتورهای رشد فیبروبلاست و پروتئین‌های *Wnt* انجام می‌دهد و چسبندگی سلولی، تکثیر، تمایز و آپوپتوز را کنترل می‌کند. مطالعات اخیر همچنین نشان می‌دهد که پروتئین *Sdc2* از طریق تعامل با سیگنال β -catenin به پاسخ سلول‌های استئوپلاست کوما به عوامل سمی سلولی کمک می‌کند. علاوه بر این، نقش پروتئین *Sdc2* در پاتولوژی استئوپلاست کوما و سایر تومورها گزارش شده است (۲۲) و بررسی‌ها نشان می‌دهد که از جمله ژن‌هایی هست که سهم بسیار مهمی در طی روند بهبودی شکستگی در پوکی استخوان ایغا می‌کند (۲۳). همچنین یافته‌های یک گروه از دانشمندان نشان‌دهنده نقش حیاتی پروتئین *Sdc3* در متابولیسم استخوان از طریق افزایش سیگنال *Wnt* در سلول‌های استئوپلاست و استئوکلاست است. نتایج آن‌ها پروتئین *Sdc3* را به عنوان یک هدف درمانی جدید برای توسعه داروی جدید آنابولیک برای درمان پوکی استخوان معرفی می‌کند (۲۴). علاوه بر این، پروتئین *Sdc4* که به طور مستقیم در شبکه پروتئینی *TNC* قرار گرفته با بیماری استخوانی آرتروز در ارتباط است و از طریق دخیل بودن در استخوان زایی اندوکندرال در فرایند ترمیم شکستگی نقش دارد (۲۵). به دلیل ارتباط مستقیم سیگنال‌های ECM و سیندکان با روند استخوان‌زایی و پوکی استخوان، ژن *TNC* به عنوان کاندید نهایی این مطالعه انتخاب گردید. سپس، برای بررسی ارتباط این ژن با پوکی استخوان، نمونه پوست از افراد مبتلا به پوکی استخوان و راثتی استئوپلاستیز ایمپرفکتا و افراد سالم گرفته شد. پس از جداسازی سلول‌های فیبروبلاست نمونه‌ها و استخراج RNA، افزایش معنادار بیان ژن *TNC* در افراد بیمار توسط Real-time PCR و در تکرارهای مختلف بیولوژیکی و تکنیکی

تأثیر افزایش میزان *TNC* در این بیماران، مهار بیان این زن می‌تواند به عنوان یک روش کاندید برای درمان پوکی استخوان مورد مطالعه قرار گیرد.

نتیجه‌گیری

در این مطالعه، ارتباط بین زن *TNC* و پوکی استخوان در بیماران مبتلا به سندروم پوکی استخوان بسیار نادر و وراحتی استئوئنوزیز ایمپرفکتا بررسی گردید و افزایش معنادار بیان زن *TNC* در بیماران نسبت به افراد سالم مشاهده شد. این تغییر بیان می‌تواند نشان‌دهنده نقش احتمالی زن *TNC* در روند

استخوان‌زابی و پوکی استخوان طبیعی در دوران پیری باشد و این زن را به عنوان یک بیومارکر تشخیصی معرفی کند.

سپاس‌گزاری

این مقاله برگرفته از پایان‌نامه دانشگاه اصفهان می‌باشد. نویسنده‌گان تحقیق حاضر از دکتر محمد شبول به دلیل شناسایی بیماران و تهیه نمونه‌های انسانی از کشور اردن کمال تشکر را دارند.

حامی مالی: دانشگاه اصفهان
تعارض در منافع: وجود ندارد.

References:

- 1-Johnell O, Kanis JA. *An Estimate of the Worldwide Prevalence and Disability Associated with Osteoporotic Fractures*. *Osteoporosis Int* 2006; 17(12): 1726-33.
- 2-Kanis JA, Melton LJ, Christiansen C, Johnston CC, et al. *The Diagnosis of Osteoporosis*. *The Lancet* 2002; 359: 1929- 36.
- 3-Rodríguez-Rodero S, Fernández-Morera JL, Menéndez-Torre E, Calvanese V, Fernández AF, Fraga MF. *Aging Genetics and Aging*. *Aging Dis* 2011; 2(3): 186-95.
- 4-Huang S, Ng GC, You-Qiang S. *Genetic Disorders Associated with Osteoporosis*. *Advances in Osteoporosis* 2015: 19.
- 5-Chiquet-Ehrismann R, Chiquet M. *Tenascins: Regulation and Putative Functions during Pathological Stress*. *J Pathol* 2003; 200(4): 488-99.
- 6-Sato R, Fukuoka H, Yokohama-Tamaki T, Kaku M, Shibata SH. *Immunohistochemical Localization of Tenascin-C in Rat Periodontal Ligament with Reference to Alveolar Bone Remodeling*. *Anat Sci Int* 2016; 91(2): 196-206.
- 7-Li C, Li G, Liu M, Zhou T. *Paracrine Effect of Inflammatory Cytokine-Activated Bone Marrow Mesenchymal Stem Cells and its Role in Osteoblast Function*. *J Biosci Bioeng* 2016; 121(2): 213-9.
- 8-De Laporte L, Rice JJ, Tortelli F, Hubbell JA. *Tenascin C Promiscuously Binds Growth Factors Via Its Fifth Fibronectin Type III-Like Domain*. *Plos One* 2013; 8(4): E62076.
- 9-Wang A, Ding X, Sheng S, Yao Z. *Bone Morphogenetic Protein Receptor in the Osteogenic Differentiation of Rat Bone Marrow Stromal Cells*. *Yonsei Med J* 2010; 51(5): 740-5.
- 10-Shinohara Y, Okamoto K, Goh Y, Kiga N, Tojyo I, Fujita S. *Inhibition of Fibrous Adhesion Formation in the Temporomandibular Joint of Tenascin-C Knockout Mice*. *Eur J Histochem* 2014; 58(4): 263-70.

- 11-Sroga GE, Vashishth D. *Effects of Bone Matrix Proteins on Fracture and Fragility in Osteoporosis.* Curr Osteoporos Rep 2012; 10(2): 141-50.
- 12-Zhang D, Li X, Pi C, Cai L, Liu Y, Du W, et al. *Osteoporosis-Decreased Extracellular Matrix Stiffness Impairs Connexin 43-Mediated Gap Junction Intercellular Communication in Osteocytes.* Acta Biochim Biophys Sin (Shanghai) 2020; 52(5): 517-26.
- 13-Consensus A. *Consensus Development Conference: Diagnosis, Prophylaxis, and Treatment of Osteoporosis.* Am J Med 1993; 94(6): 646-50.
- 14-Demontiero O, Vidal C, Duque G. *Aging and Bone Loss: New Insights for the Clinician.* Ther Adv Musculoskel Dis 2012; 4(2): 61-76.
- 15-Hasegawa M, Hirata H, Sudo A, Kato K, Kawase D, Kinoshita N, et al. *Tenascin-C Concentration in Synovial Fluid Correlates With Radiographic Progression of Knee Osteoarthritis.* J Rheumatol 2004; 31(10): 2021-6.
- 16-Pazzaglia L, Conti A, Chiechi A, Novello C, Magagnoli G, Astolfi A, Pession A, et al. *Differential Gene Expression in Classic Giant Cell Tumours of Bone: Tenascin C as Biological Risk Factor for Local Relapses and Metastases.* Histopathology 2010; 57(1): 59-72.
- 17-Alford AI, Hankenson KD. *Matricellular Proteins: Extracellular Modulators of Bone Development, Remodeling, And Regeneration.* Bone 2006; 38(6): 749-57.
- 18-Chiquet-Ehrismann R. *Tenascins.* Int J Biochem Cell Biol 2004; 36: 986-90.
- 19-Järveläinen H, Sainio A, Koulu M, Wight TN, Penttinen R. *Extracellular Matrix Molecules: Potential Targets in Pharmacotherapy.* Pharmacological Reviews 2009; 61(2): 198-223.
- 20-Alford AI, Kozloff KM, Hankenson KD. *Extracellular Matrix Networks in Bone Remodeling.* Int J Biochem Cell Biol 2015; 65: 20-31.
- 21-Nyman JS, Makowski AJ. *The Contribution of the Extracellular Matrix to the Fracture Resistance of Bone.* Curr Osteoporos Rep 2012; 10(2): 169-77.
- 22-Mansouri R, Hay E, Marie PJ, Modrowski D. *Role of Syndecan-2 in Osteoblast Biology and Pathology.* Bonekey Reports 2015; 4.
- 23-Gao F, Xu F, Wu D, Cheng J, Xia P. *Identification of Novel Genes Associated with Fracture Healing in Osteoporosis Induced by Krm2 Overexpression or Lrp5 Deficiency.* Mol Med Rep 2017; 15(6): 3969-76.
- 24-De Sousa Brito FM, Butcher A, Pisconti A, Poulet B, et al. *Syndecan-3 Enhances Anabolic Bone Formation through WNT Signalling.* Biorxiv 2019: 846972.
- 25-Bertrand J, Stange R, Hidding H, Echtermeyer F, Nalessø G, Godmann L, et al. *Syndecan 4 Supports Bone Fracture Repair, but Not Fetal Skeletal Development, In Mice.* Arthritis & Rheumatism 2013; 65(3): 743-52.
- 26-Ozkan G, Ulusoy S, Guvercin B, Menteşe A, Karahan SC, Yavuz A. *A New Player in Chronic Kidney Disease Mineral and Bone Disorder: Tenascin-C.* Int J Artif Organs 2015; 38(9): 481-7.
- 27-Page TH, Charles PJ, Piccinini AM, Nicolaïdou V, Taylor PC, Midwood KS. *Raised Circulating*

Tenascin-C in Rheumatoid Arthritis. *Arthritis Res Ther* 2012; 14(6): R260.

28-Patel L, Sun W, Glasson SS, Morris EA, Flannery CR, Chockalingam PS. *Tenascin-C Induces Inflammatory Mediators and Matrix Degradation in Osteoarthritic Cartilage.* BMC Musculoskelet Disord 2011; 12: 164.

29-Chen Y, Chen ZF, He F. *Tenascin-C Knockdown Suppresses Osteoblast Differentiation and Promotes Osteoporosis In Mice By Inhibiting Wnt Signaling.* Nan Fang Yi Ke Da Xue Xue Bao J Southern Medical University 2016; 36(8): 1117-22.

Exploring the Correlation between *TNC* Gene and Osteoporosis

Nasrinsadat Nabavizadeh¹, Zohreh Hojati^{*2}

Original Article

Introduction: Osteoporosis is one of the main causes of bone fractures in old age. The examination of osteoporosis in the elderly is very complicated due to the heterogeneity of the aging process. This study aimed to investigate the correlation of the *TNC* gene in the patients with an inherited and very rare osteoporosis syndrome. The importance of this study was the identification of a specific biomarker for the osteoporosis process in a monogenic disease.

Methods: In this case-control study, the patients with Osteogenesis Imperfecta were used as a simple and monogenic model to investigate the possibility of *TNC* gene role in osteoporosis. For this purpose, *TNC* protein network and its related biological pathways were firstly evaluated by bioinformatic analysis. Then, skin biopsies were taken from 3 patients with inherited osteoporosis syndrome called Osteogenesis Imperfecta and two healthy individuals. After culturing the biopsy, fibroblast cells were isolated from keratinocyte cells. Then, the total RNA of each sample was extracted from two different passages and cDNA was synthesized. Subsequently, the expression of *TNC* gene was measured by Real-time PCR in healthy and patient cells using various replicates.

Results: *TNC* network proteins are significantly associated with the biological pathways involved in the ossification process. The expression of the *TNC* gene was assessed in wild type and patient cells. Finally, our results confirmed a significant increase in the expression of *TNC* in the patients' compared to wild types' cells by using technical and biological replicates ($p:0.005$, $p:0.007$) and Student t-test. In this study, Excel and GraphPad Prism 5.0 software (GraphPad Software, Inc., San Diego, CA) were used.

Conclusion: Increased expression of *TNC* gene in a monogenic osteoporosis syndrome can indicate the potential role of this gene in the process of bone loss and introduce this gene as a new biomarker for osteoporosis. The study on rare Osteogenesis Imperfecta syndrome is a simple and monogenic model to investigate the heterogeneous osteoporosis. Therefore, the expression of the candidate gene needs to be evaluated and confirmed in an appropriate statistical population composed of patients with osteoporosis.

Keywords: Osteoporosis, Monogenic disease, *TNC*, Real-time PCR, Biological pathways.

Citation: Nabavizadeh N, Hojati Z. Exploring the Correlation between *TNC* Gene and Osteoporosis. J Shahid Sadoughi Uni Med Sci 2020; 28(10): 3121-33.

^{1,2}Division of Genetics, Department of Cell and Molecular Biology & Microbiology, Faculty of Biological Science and Technology, University of Isfahan, Isfahan, Iran.

*Corresponding author: Tel: 0913 3287903, email: z.hojati@sci.ui.ac.ir